

การประชุมวิชาการเครือข่ายวิศวกรรมเครื่องกลแห่งประเทศไทยครั้งที่ 14
2-3 พฤษภาคม 2543 โรงแรม โนโวเทล เชียงใหม่

การวิจัยผลของการใช้อุปกรณ์ป้อนมูลฝอยชนิดโรตารีต่อการเผาไหม้ในเตาเผา A RESEARCH OF EFFECT OF A ROTARY FEEDER ON BURNING IN AN INCINERATOR

สมศรี จงรุ่งเรือง ชินເຖິງ ເບຍ້າຈະ ແລະ ສຸກີຈ ລືດິກຣັນ
ภาควิชาวิศวกรรมเครื่องกล คณะวิศวกรรมศาสตร์ จุฬาลงกรณ์มหาวิทยาลัย
กรุงเทพฯ 10330
โทร (02) 2186610 , โทรสาร (02) 2522889

Somsri Chongrungreong, Chinattep Benyajati and Sukit Litikorn
Department of Mechanical Engineering, Faculty of Engineering, Chulalongkorn University
Bangkok 10330, Thailand.
Tel : (02) 2186610 , Fax : (02) 2522889

บทคัดย่อ

งานวิจัยครั้งนี้มีจุดประสงค์เพื่อศึกษาผลของการใช้อุปกรณ์ป้อนมูลฝอยชนิดโรตารีต่อการเผาไหม้ในเตาเผา มูลฝอยที่ใช้ทำวิจัยเป็นใบไม้แห้ง ทำการป้อนมูลฝอยด้วยอัตรา 25 กิโลกรัมต่อชั่วโมง ที่ปริมาณอากาศส่วนเกินต่างๆ เป็นเวลา 2 ชั่วโมง เมื่อเปรียบเทียบผลของการใช้อุปกรณ์ป้อนชนิดโรตารีกับการป้อนด้วยแรงงานคน ผลการวิจัยพบว่าประสิทธิภาพเชิงความร้อนเพิ่มขึ้น 41 % เมื่อพิจารณาจากประสิทธิภาพเชิงความร้อนสูงสุด ที่ปริมาณอากาศส่วนเกิน 20 %

Abstract

This research aims at studying the result of using a rotary feeder for the combustion of gabages in an incinerator. The gabages used are dry leaves. The feeding rate is 25 kg / hr at various % excess air for 2 hours. When compare the results of using a rotary feeder with manual feeding, it is found that the thermal efficiency is increased by 41 % when consider the highest thermal efficiency that can be done at 20 % excess air.

1. บทนำ

การเผาไหม้มูลฝอยเป็นปฏิกริยาทางเคมีที่เกิดขึ้นและเป็นไปตามกฎการอนุรักษ์มวลและการอนุรักษ์พลังงาน แต่ประสิทธิภาพของการเผาไหม้จะดีหรือไม่นั้นขึ้นอยู่กับจำนวนมูลฝอยที่ทำการเผาไหม้ ว่าเผาไหม้หมดหรือไม่ ถ้ามูลฝอยที่ใส่เข้าไปในเตาเผาแล้วถูกเผาไหม้หมดก็แสดงว่าประสิทธิภาพในการเผาไหม้ดี การเผาไหม้ของมูลฝอยจะดีหรือไม่นั้นอาศัยตัวแปรหลัก 3T นั่นคือ เวลา (time) ความปั่นป่วน (turbulence) และอุณหภูมิ (temperature) มาใช้ในการพิจารณา ดังต่อไปนี้ [1]

1. เวลา (time) ต้องมีเวลาเพียงพอให้มูลฝอยเกิดการเผาไหม้อย่างสมบูรณ์ มูลฝอยแต่ละชนิดจะใช้เวลาไม่เท่ากันในการทำปฏิกริยาทางเคมีกับอากาศ

2. ความปั่นป่วน (turbulence) ระหว่างปริมาณอากาศและมูลฝอยที่เหมาะสมจะทำให้การเผาไหม้สมบูรณ์เป็นไปตามทฤษฎี แต่ถ้าเชื้อเพลิงกับออกซิเจนผสมเข้ากันได้ไม่ดี จำเป็นต้องใช้อากาศมากกว่าตามทฤษฎี

3. อุณหภูมิ (temperature) จะต้องใช้อุณหภูมิให้เหมาะสมแก่การเผาไหม้ การรวมตัวกันทางเคมีของเชื้อเพลิงแข็งกับอากาศนั้นจะขึ้นอยู่โดยตรง กับอุณหภูมิจุดติดไฟ (Ignition temperature) ถ้าอุณหภูมิสูงไม่ถึงจุดติดไฟ มูลฝอยก็จะไม่ลุกไว้ อุณหภูมิต่ำสุดที่สามารถติดไฟได้ในอากาศก็คือ

400°C สำหรับคาร์บอน 580°C สำหรับไฮโดรเจน และ
 610°C สำหรับคาร์บอนมอนอกไซด์ อุณหภูมิสูงกว่า
 อุณหภูมิจุดติดไฟมาก ๆ จะทำให้การเผาไหม้เกิดขึ้นรวดเร็ว
 แต่อาจเกิดแก๊สไฮเดรตเพิ่มขึ้น เช่น ออกไซด์ของไนโตรเจน
 NO_x

2. ปริมาณความร้อนต่าง ๆ

2.1 ปริมาณความร้อนจากการเผา müลฟอย (Q_{LHV}) , kW ค่าความร้อนที่ได้จากการเผาไหม้เป็นค่าความร้อนต่างของ müลฟอย เนื่องจากสถานะของน้ำที่เกิดจากการเผาไหม้เป็นไป [2]

$$Q_{\text{LHV}} = \bar{m} LHV \quad (1)$$

\bar{m} = อัตราการป้อน müลฟอย , kg / s

LHV = ค่าความร้อนต่างของ müลฟอย , kJ / kg_{ref}

$$LHV = HHV - N(\bar{h}_{fg})_{H_2O} \quad (2)$$

HHV = ค่าความร้อนสูงของการเผาไหม้ [3] , kJ / kg_{ref}

N = จำนวนโมเลกุลของน้ำในผลผลิต

$(\bar{h}_{fg})_{H_2O}$ = เอนกานาลปีของการระเหยน้ำที่ 25°C , kJ / kg

$$HHV = 0.338C + 1.44(H - \frac{O}{8}) + 0.094S \quad (3)$$

C = องค์ประกอบของคาร์บอนใน müลฟอย , kg_C / kg_{ref}

H = องค์ประกอบของไฮโดรเจนใน müลฟอย , kg_H / kg_{ref}

O = องค์ประกอบของออกซิเจนใน müลฟอย , kg_O / kg_{ref}

S = องค์ประกอบของชัลเฟอร์ใน müลฟอย , kg_S / kg_{ref}

2.2 ปริมาณความร้อนของแก๊สไฮเดรต [3]

$$Q_{\text{FlueGas}} = m_g \bar{C}_{P_g} (T_g - T_a) \quad (4)$$

m_g = อัตราการป้อนมูลของแก๊สไฮเดรต , kg / s

\bar{C}_{P_g} = ค่าความร้อนจำเพาะเฉลี่ยของแก๊สไฮเดรต , kJ / kg K

T_g = อุณหภูมิของแก๊สไฮเดรต , K

T_a = อุณหภูมิอากาศภายนอกของเตาเผา , K

ค่าความร้อนจำเพาะเฉลี่ยของแก๊สไฮเดรต สามารถหาได้ ถ้าทราบอุณหภูมิของแก๊สไฮเดรต และส่วนประกอบของแก๊สไฮเดรตจากสมการ [4]

$$\bar{C}_{P_g} = \left(C_{P_{CO_2}} \frac{\%CO_2}{100} + C_{P_{O_2}} \frac{\%O_2}{100} + C_{P_{CO}} \frac{\%CO}{100} \right. \\ \left. C_{P_{N_2}} \frac{\%N_2}{100} + C_{P_{H_2O}} \frac{\%H_2O}{100} \right) \quad (5)$$

C_{P_g} = ค่าความร้อนจำเพาะของแก๊ส g ที่อุณหภูมิของแก๊สไฮเดรต , kJ / kg K

3. ประสิทธิภาพเชิงความร้อน

ค่าประสิทธิภาพเชิงความร้อนของการเผา mülฟอย หมายถึงอัตราส่วนของพลังงานความร้อนที่ปล่อยออกจากปล่องไฟ เสียต่อพลังงานความร้อนที่เกิดจากค่าความร้อนต่าง (LHV) ของ mülฟอยและของเชื้อเพลิง ในการนี้ไม่ได้ใช้เชื้อเพลิงช่วยในการเผาไหม้สามารถคำนวณได้จากสมการ

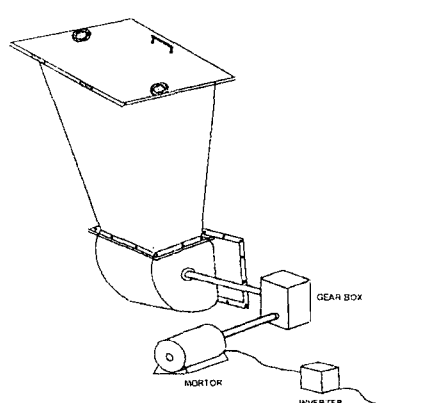
$$\eta_{th} = \frac{Q_{\text{FlueGas}}}{Q_{\text{LHV}}} \quad (6)$$

η_{th} = ประสิทธิภาพเชิงความร้อนของเตาเผา mülฟอย , %

Q_{FlueGas} = ปริมาณความร้อนของแก๊สไฮเดรตที่ปล่อยออกจากปล่อง , kW

Q_{LHV} = ค่าความร้อนต่างของเชื้อเพลิง , kW

4 อุปกรณ์และเครื่องมือวัด



รูปที่ 1 ชุดอุปกรณ์ป้อน mülฟอย

4.1 ชุดอุปกรณ์ป้อน mülฟอย

4.1.1 Hooper เป็นอุปกรณ์ที่ติดเข้ากับ rotary มีไว้สำหรับใส่มุลฟอย

4.1.2 Gear Box มีไว้สำหรับลดรอบของมอเตอร์

4.1.3 Motor มีไว้สำหรับขับเคลื่อนอุปกรณ์ป้อน

4.1.4 Inverter เป็นอุปกรณ์ควบคุมรอบการหมุนของมอเตอร์ ด้วยความถี่

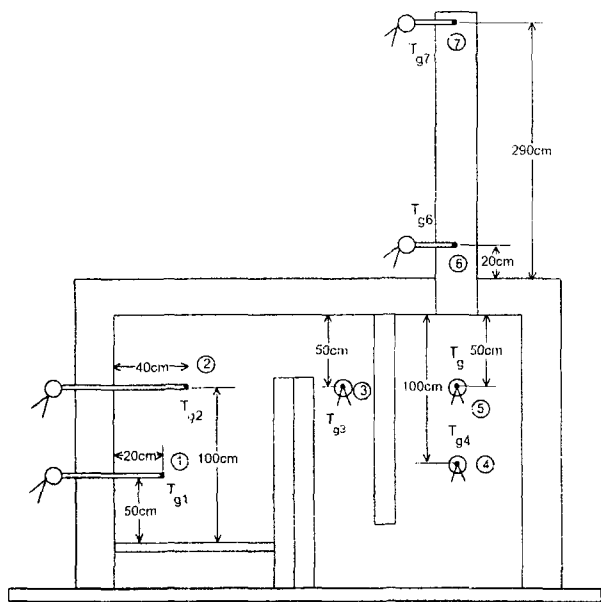
4.2 ชุดป้อนอากาศ ประกอบด้วย 2 ส่วน คือ

4.2.1 เครื่องเป่าอากาศขนาด 3 แรงม้า ความดันสูง 100 mm H₂O สามารถจ่ายอากาศได้สูงสุด 25 m³/min

4.2.2 ท่อส่งอากาศเป็นท่อพีวีซี และท่ออะลูมิเนียมยึดหยุ่น ขนาดเส้นผ่านศูนย์กลาง 0.1016 เมตร ยาว 3 เมตร และ 1 เมตรตามลำดับ

4.3 อุปกรณ์วัดอัตราการไหลของอากาศหรือแก๊สไออกซีเจน ประกอบด้วย 2 ส่วนคือ

ส่วนที่ 1 ออริฟิช และ ส่วนที่ 2 /manometer มอเตอร์ ใช้สำหรับอ่านค่าความดันที่อยู่ในรูปความแตกต่างของระดับความสูงของน้ำ เพื่อนำไปคำนวณหาอัตราการไหลของอากาศ และแก๊สไออกซีเจน



รูปที่ 2 การติดตั้งเทอร์โมคัปเบิลที่ทำแน่นง่ายต่างๆ ของเตาเผา

4.4 อุปกรณ์วัดอุณหภูมิ

การวัดอุณหภูมิที่ทำแน่นง่ายต่างๆ ของเตาเผาไม่มีฟอย จะใช้เทอร์โมคัปเบิล ซึ่งปลายด้านหนึ่งสัมผัสกับบริเวณที่ต้องการวัดอุณหภูมิ ส่วนปลายอีกด้านหนึ่งจะต่อเข้ากับเครื่องอ่านอุณหภูมิชนิดตัวเลข ทำให้สามารถเลือกอ่านค่าที่ทำแน่นง่ายต่างๆ ได้ ดังแสดงในรูปที่ 2

4.4.1 การวัดอุณหภูมิแก๊สร้อนที่เกิดจากการเผาไหม้ภายในห้องเผาใหม่ใช้เทอร์โมคัปเบิล ชนิด K

4.4.2 การวัดอุณหภูมิแก๊สไออกซีเจนที่ผ่านปล่องไออกซีเจน ใช้เทอร์โมคัปเบิลชนิด K

4.4.3 การวัดอุณหภูมิของผนังด้านในของเตาเผาไม่มีฟอย หรือของปล่องไออกซีเจน ใช้เทอร์โมคัปเบิลชนิด K

4.4.4 การวัดอุณหภูมิผนังด้านนอกของเตาเผาไม่มีฟอย และผนังด้านนอกของจนวนหุ้มปล่องไออกซีเจน ใช้เทอร์โมคัปเบิลชนิด K

4.5 อุปกรณ์วิเคราะห์องค์ประกอบของแก๊สไออกซีเจน (Gas Analysis)

เครื่องวิเคราะห์องค์ประกอบแก๊สไออกซีเจนที่เกิดจากการเผาใหม่ที่ห้อง TESTO สามารถแสดงองค์ประกอบของแก๊สไออกซีเจน

4.6 เครื่องชั่งน้ำหนัก ใช้สำหรับชั่งน้ำหนักของมูลฝอยที่จะทำการป้อน และน้ำหนักของขี้เถ้าที่เกิดจากการเผาใหม่

4.7 นาฬิกาจับเวลา ใช้สำหรับจับเวลาในการจดบันทึกข้อมูล

5. ขั้นตอนการวิจัยและการรวมรวมข้อมูล

ขั้นตอนที่ 1 ขั้นตอนนี้เป็นการทดสอบเพื่อหารอบทำงานที่เหมาะสมสำหรับป้อนมูลฝอยใบไม้ที่ 25 kg/h โดยรอบการหมุนของอุปกรณ์จะถูกควบคุมโดยการปรับค่าความถี่จากอินเวอร์เตอร์ ผลการทดสอบมีดังต่อไปนี้ (ใบป้อนชีดตัดโคล้ง) ดังแสดงในตารางที่ 1

ตารางที่ 1 แสดงการหารอบทำงานต่างๆ ที่อัตราการป้อน 25 kg/h

ความถี่ (rpm)	รอบของมอเตอร์ (rpm)	มวลที่ใส่ (kg)	เวลาที่ใช้เฉลี่ย (s)	อัตราการป้อน (kg/h)
35	1050	52.5	5	854.3
36	1080	54	5	822.3
37	1110	55.5	5	806.6
38	1140	57	5	771.6
39	1170	58.5	5	744.0
40	1200	60	5	719.3
41	1230	61.5	5	691.0
42	1260	63	5	662.0

ขั้นตอนที่ 2 ขั้นตอนนี้เป็นขั้นตอนในการทดสอบเผาไม่มีฟอยที่ปริมาณอากาศส่วนเกินต่างๆ โดยมีรายละเอียดของการทดสอบดังแสดงในตารางที่ 2 และมีวิธีการดำเนินงานดังต่อไปนี้

1. จัดเตรียมมูลฝอยที่ต้องการจะทำการเผา (ในการวิจัยครั้งนี้จะเลือกใช้อัตราการป้อน 25 kg/h โดยมูลฝอยที่จะป้อนคือใบไม้)

2. ชั่งน้ำหนักมูลฝอยตามอัตราการป้อน

3. ตรวจสอบอุปกรณ์และเครื่องมือวัดต่างๆ ให้พร้อมที่จะทำการทดสอบ ดังนี้

- 3.1 เทอร์โมคัพเบลทุกตัวແ焓งพร้อม เปิดเครื่องอ่าน อุณหภูมิ และเครื่องบันทึกข้อมูล
- 3.2 เปิดเครื่องวิเคราะห์แก๊สไอเสีย (gas analyzer)
- 3.3 ตรวจสอบมานอ米เตอร์สำหรับดักความแตกต่าง ของระดับน้ำเพื่อดูอัตราการไหลของแก๊สไอเสีย อัตราการไหลอากาศเข้าเดา และความดันสติกใน ปล่องไอเสีย ให้พร้อมสำหรับอ่านค่า
- 3.4 ตรวจสอบมานอเตอร์และอินเวอร์เตอร์ให้พร้อม สำหรับใช้งาน
- 3.5 เปิดพัดลมเป่าอากาศ และปรับลิ้นทางดูดของพัด ลม เพื่อให้ได้อัตราการไหลของอากาศตามที่ ต้องการ โดยอ่านค่าความแตกต่างของระดับน้ำ ในมานอ米เตอร์ ที่ปริมาณอากาศส่วนเกินตาม ทฤษฎี 0% , 20% , 40% และ 60%

ตารางที่ 2 แสดงรายละเอียดการทดลองสอบผามูลฝอยใบไม้ใน แต่ละครั้งที่อัตราการป้อน 25 kg/h

ครั้งที่	รากหัวของ ใบป้อม (kgm)	ปริมาณอากาศ ส่วนเกินตาม ทฤษฎี (%EA)	ปริมาณอากาศ (m ³ /min)
1	60	0	2.42
2	60	20	2.90
3	60	40	3.39
4	60	60	3.88

4. นำมูลฝอยที่เตรียมไว้ใส่ลงใน hopper จากนั้นปรับ รอบของมอเตอร์โดยใช้อินเวอร์เตอร์ ตามรอบที่ได้หาไว้แล้ว (ตารางที่ 1)
5. จุดไฟด้วยกระดาษชูบันนำมันเล็กน้อยที่ซ่องดิตไฟ พร้อมเปิดพัดลมเป่าอากาศ
6. เริ่มจับเวลาการทดลอง เปิดเครื่องบันทึกข้อมูล จด บันทึกค่า
7. จดบันทึกข้อมูลทุกๆ 10 นาที โดยมีข้อมูลต่างๆ ดังต่อไปนี้
 - 7.1 อุณหภูมิที่ต่ำແ焓งต่างๆของเตาเผามูลฝอย และ ปล่องไอเสีย (ทำโดยตั้งเวลาจดบันทึกที่เครื่อง บันทึกข้อมูล)
 - 7.2 ค่าความแตกต่างของระดับน้ำในมานอ米เตอร์เพื่อ วัดอัตราการไหลของ แก๊สไอเสียที่ออกจากปล่อง

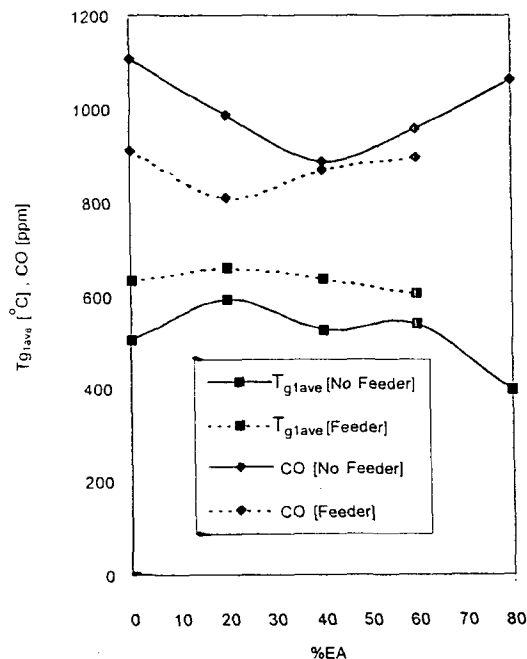
7.3 ค่าความแตกต่างของระดับน้ำในมานอ米เตอร์เพื่อ วัดความดันสติกในปล่องไอเสีย

8. จดบันทึกเบอร์เซ็นต์ของค่าประกอบ ของแก๊สไอเสียที่ อ่านได้จากเครื่องวิเคราะห์ของค่าประกอบของแก๊สไอเสีย คือ %O₂ , %CO₂ และ CO (ppm) (จดทุกๆ10นาที)
9. หยุดป้อนมูลฝอยเมื่อครบ 2 ชั่วโมง และจดบันทึกข้อมูลต่างๆ ในข้อ 7 และ 8 หลังจากหยุดป้อนมูลฝอยแล้วเป็น เวลาต่อไปอีก 30 นาที
10. ปิดพัดลมเป่าอากาศ เครื่องบันทึกข้อมูล เครื่อง วิเคราะห์แก๊ส และอินเวอร์เตอร์ ตามลำดับ
11. ทำความสะอาดเครื่องวิเคราะห์แก๊สไอเสีย
12. ทำการโกยขี้เต้าที่เกิดขึ้นอยู่ในห้องเผาใหม่ที่หนึ่ง และห้องเผาใหม่ที่สอง เมื่ออุณหภูมิภายในเตาเผาลดจน เกือบท่อกับบรรยายกาศ แล้วซึ่งน้ำหนักของขี้เต้าที่เกิดขึ้น จะ บันทึกค่า

6. ผลที่ได้จากการวิจัย

ผลของการวิจัยแสดงอยู่ในรูปของกราฟดังๆ ซึ่งรวมถึง กราฟเปรียบเทียบระหว่างการป้อนโดยใช้แรงงานคนกับการ ป้อนโดยใช้อุปกรณ์ป้อน

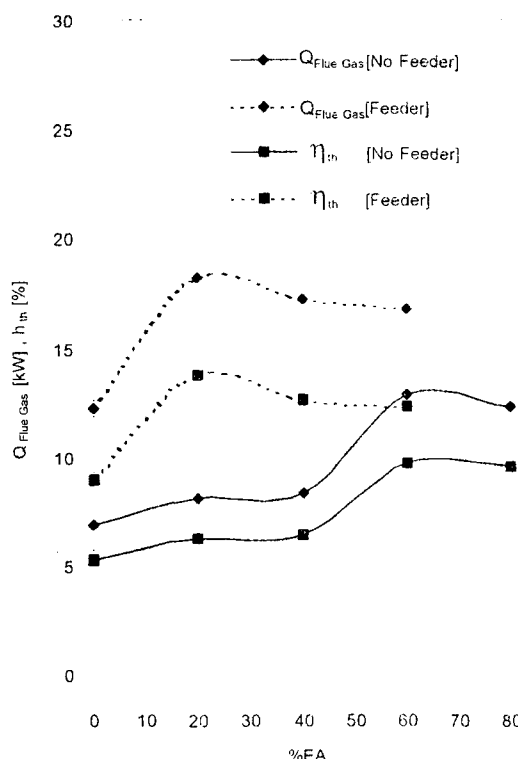
Comparing Data Between 2 Chambers(No Feeder) with 2 Chambers(Feeder) at 25 kg/h



รูปที่ 3 กราฟระหว่างอุณหภูมิเฉลี่ยห้องเผาใหม่ที่หนึ่ง (T_{gave}) , ปริมาณแก๊ส คาร์บอนออกไซด์ (CO) กับปริมาณอากาศส่วนเกินทางทฤษฎี (%EA)

จากรูปที่ 3 แสดงผลของอุณหภูมิเฉลี่ยห้องเผาไหม้ T_{grave} และปริมาณแก๊สคาร์บอนมอนอกไซด์ (CO) ที่ปริมาณอากาศส่วนเกินต่างๆ พบร่วมกับทุกๆ ปริมาณอากาศส่วนเกิน อุณหภูมิเฉลี่ยในห้องเผาไหม้มีเมื่อใช้อุปกรณ์ป้อนมีค่าสูงกว่าเมื่อป้อนด้วยแรงงานคน เมื่อไม่มีอุปกรณ์ป้อนอุณหภูมิเฉลี่ยในห้องเผาไหม้มีค่าสูงสุดเป็น 590°C ถ้าใช้อุปกรณ์ป้อนมีค่าเป็น 660°C ที่ปริมาณอากาศส่วนเกิน 20% ปริมาณแก๊สคาร์บอนมอนอกไซด์ เมื่อใช้อุปกรณ์ป้อนมีค่าต่ำกว่าเมื่อป้อนด้วยแรงงานคน ปริมาณแก๊สคาร์บอนมอนอกไซด์ต่ำสุดมีค่า 886 ppm แต่ถ้าใช้อุปกรณ์ป้อนจะมีค่า 810 ppm ที่ปริมาณอากาศส่วนเกิน 20%

Coparing Data Between 2 Chambers [No Feeder] with 2 Chambers[Feeder] at 25 kg/h



รูปที่ 4 กราฟระหว่างปริมาณความร้อนของแก๊สไออกซีเจน ($Q_{\text{Flue gas}}$) , ประสิทธิภาพเชิงความร้อน h_{in} กับปริมาณอากาศส่วนเกินทางกุญแจ (%EA)

จากรูปที่ 4 แสดงผลของปริมาณความร้อนของแก๊สไออกซีเจน ($Q_{\text{Flue Gas}}$), ประสิทธิภาพเชิงความร้อน h_{in} ที่ปริมาณอากาศส่วนเกินต่างๆ พบร่วมกับทุกๆ ปริมาณอากาศส่วนเกิน ปริมาณความร้อนของแก๊สไออกซีเจนและประสิทธิภาพเชิงความร้อน เมื่อใช้อุปกรณ์ป้อนมีค่าสูงกว่าเมื่อป้อนด้วยแรงงานคน ปริมาณความร้อนแก๊สไออกซีเจนสูงสุดมีค่า 12.7 kW ประสิทธิภาพเชิงความร้อนสูงสุดมีค่า 9.6% เมื่อไม่ใช้อุปกรณ์ป้อน แต่ถ้าใช้

อุปกรณ์ป้อนจะให้ปริมาณความร้อนของแก๊สไออกซีเจนสูงถึง 18.15 kW และประสิทธิภาพเชิงความร้อนสูงถึง 13.72%

7. สรุปผลการวิจัย

เมื่อนำอุปกรณ์ป้อนมูลฝอยชนิดໂրಡาร์เข้าไปติดตั้งกับเตาเผาเพื่อป้อนมูลฝอยเข้าสู่เตา ผลที่เกิดจากการเผาไหม้มีเมื่อใช้อุปกรณ์จะมีค่าประสิทธิภาพเชิงความร้อนเพิ่มขึ้น 41% ปริมาณแก๊สคาร์บอนมอนอกไซด์ลดต่ำลงประมาณ 10% ที่ปริมาณอากาศส่วนเกิน 20% แสดงว่าอุปกรณ์ป้อนมูลฝอยช่วยให้มูลฝอยผสมผสานกับอากาศได้ดีกว่าการป้อนด้วยแรงงานคนอย่างเดียว

เตาเผามูลฝอยที่มีอุปกรณ์ป้อนนี้เป็นเตาเผาที่มีราคาถูกใช้งานได้ดีไม่ทำให้เกิดผลกระทบทางอากาศ เป็นเตาที่ควรจะนำมาใช้งานในชุมชนขนาดเล็ก เพื่อลดค่าใช้จ่ายของรัฐในการกำจัดขยะ

8. กิตติกรรมประกาศ

ขอขอบคุณทุนวิจัยราชภัฏเชียงราย ที่ให้การสนับสนุนงานวิจัยครั้งนี้

9. เอกสารอ้างอิง

- [1] สมศรี จงรุ่งเรือง “การออกแบบเตาเผามูลฝอย”, ทุนวิจัย ราชภัฏเชียงใหม่ จำนวน 2542
- [2] Henry, A. Sorarsan. “Energy Conversation Systems”, Canada : John Wiley & Son, Inc., 1985
- [3] Wilfrid Francis and Martin, C. Peters. “Fuels and fuel Technology”, Oxford : Pergamon Press, 1980.
- [4] Yunus, A. Cengel and Michael, A. Boles. “Thermodynamics and Engineering Approach”, New York : McGraw -Hill, 1989